

吊橋の補剛筋に作用する空気力に関する実験的研究

京都大学工学部 正員 工博 小西一郎
京都大学工学部 正員 工博 白石成人
京都大学工学部 正員 工修 宇都宮英彦
京都大学大学院 学生員 °浅沼香跡

浅沼秀次

まえがき

前回の報告に引きつづき 空気力測定における自由振動法に着目して 吊橋部分模型について空気力係数を求め これらと比較検討することによって吊橋の耐風安定性を論じる試みを試みた。

I 振動方程式と空気力係数

吊橋補剛桁に作用する空気力を鉛直変位 h の時間微分 \dot{h} と回転変位 α 及びその時間微分 $\dot{\alpha}$ の一次結合で表わされると仮定した場合 図-1に示すよろ3の振動系に対する3振動方程式は次のようになる。

$$\ddot{h} + 2\zeta_{ho}\omega_{ho}\dot{h} + \omega_{ho}^2 h = H_1 \dot{h} + H_2 \dot{\varphi} + H_3 \varphi = L/m$$

$$\ddot{\omega} + 2\zeta_{dp}\omega_{dp}\dot{\omega} + \omega_{dp}^2\omega = A_1 h + A_2 \dot{\omega} + A_3 \omega = M/I_p$$

二二二

ω_{r_0} : 非減衰固有振動数

S_m :臨界減衰比 ($r = h, \alpha$)

H_i, A_i : 空気力係数 m, I_p : 模型車両長当たりの質量及ぶ質量慣性モーメント

H_2 , A_1 はそれぞれ次のよう3に決定される。

$$H_1 = Z \xi_{n_0} \omega_{n_0} - \frac{\delta_b}{\pi} \omega_n$$

$$H_2 = \frac{1}{\omega} \left(\frac{h_0}{J_{\text{eff}}} \right) \left[(\omega_{h_0}^2 - \omega^2) \sin \theta + (2S_{\text{now}}\omega_{h_0} - H_1) \omega \cos \theta \right]$$

$$H_3 = \left(\frac{h_0}{\omega_p} \right) \left[(\omega_{h_0}^2 - \omega^2) \cos \theta - (2\beta_{h_0} \omega_{h_0} - H_1) \omega \sin \theta \right]$$

$$A_1 = \frac{1}{\omega} \left(\frac{d\omega}{dt} \right) \left[(\omega^2 - \omega_{d0}^2 + A_3) \sin \theta + (2\zeta_{d0}\omega_{d0} - A_2) \omega \cos \theta \right]$$

$$A_2 = 2 \zeta_{d0} \omega_{d0} - \frac{\delta_d}{\pi} \omega_d$$

$$A_3 = \omega_{s0}^2 - \left\{ 1 + 4 \left(\frac{\delta_s}{\pi} \right)^2 \right\} \omega_s^2$$

$\gamma = 2$

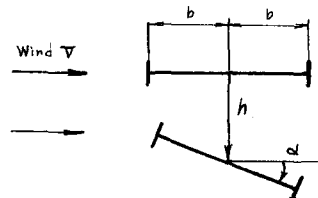
ω_r, δ_r : 一自由度の場合の振動数 及び対数減衰率 ($r = h, \omega$)

ω : =自由度の場合のフラッタ-振動数

h_0 , α_0 : 二自由度フラッター時の鉛直及びねじれの定常振幅

$$\theta : = \text{二自由度フランジャー時の鉛直振動とねじれ振動の位相差} \quad \theta = \tan^{-1} \frac{\omega - \omega_{d0} + A_3}{(2\zeta_{d0}\omega_{d0} - A_2)\omega}$$

空気力係数 H_A , A : 無次元化できれば幾何学的に相似な, いかなる大きさの補剛材に対する同一の値をもって論ずることができるので, これを次の § 3 に無次元化する。



圖一

$$H_1^* = \frac{m}{\rho b^2 \omega} H_1$$

$$A_1^* = \frac{I_p}{\rho b^2 \omega} A_1$$

$$H_2^* = \frac{m}{\rho b^2 \omega} H_2$$

$$A_2^* = \frac{I_p}{\rho b^2 \omega} A_2$$

$$H_3^* = \frac{m}{\rho b^2 \omega^2} H_3$$

$$A_3^* = \frac{I_p}{\rho b^2 \omega^2} A_3$$

Zb : 幅員

ρ : 空気密度

II 実験的検討

(1) 空気力係数 H_1^* の検討

H_1^* に関する実験結果を図-2に示す。これより

次のことが明らかになる。

1. H_1^* はどのような補剛形に対しても負値となり、 V/bw の増加に対して直線的に減少する。

2. 床板以外の条件が同一の場合、スロット面

積の大きさほど $|H_1^*|$ の値は小さくなる。特にフレート・ガーダー補剛形においてこの傾向が著しく現われている。

3. トラス補剛形の場合、いずれの床板形式でありてもほぼ Theodorsen の平板翼理論によつて求めた H_1^* に近い値を示している。

4. フランジの有無が H_1^* の値に与える影響は非常に小さいとされる。

(2) 空気力係数 A_2^* の検討

A_2^* に関する実験結果を図-3に示すが、これより

1. フレート・ガーダー補剛形式の場合 $A_2^* > 0$ となり A_2^* の値が大きなほど不安定となる。

2. 平板、トラス補剛形式の場合 $A_2^* < 0$ となり $|A_2^*|$ の値が大きなほど安定となる傾向を持つ。

3. W型床板においてはトラス補剛形式の場合に $A_2^* > 0$ となり(不安定)、フレート・ガーダー補剛形式の場合に $A_2^* < 0$ ($A_2^* \approx 0$) となる。

4. ピン型の床板位置の方程式 H型の方より安定となるが A_2^* の値を示す。

(3) 空気力係数 A_3^* の検討

A_3^* に関する実験結果を図-4に示してある。

これによると非常によく不安定な型(例えばEP型)は $A_3^* < 0$ となり、安定な平板・トラス補剛形では $A_3^* > 0$ かつ Theodorsen の平板理論により求めた A_3^* の値に近くなる。やや不安定な型(例えばDP型)では $A_3^* > 0$ であるが、Theodorsen の理論によると

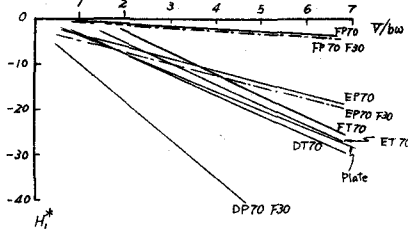


図-2 H_1^* plots vs V/bw

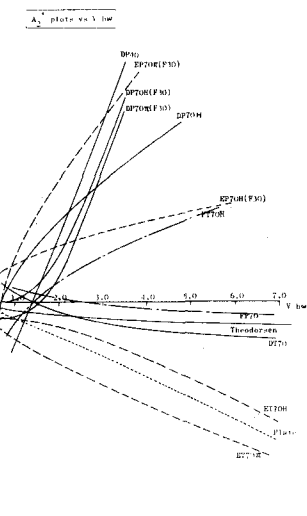


図-3

記号:

床板形式 $\left\{ \begin{array}{l} D : \text{---} \\ E : \text{—}— \\ F : \text{—}—\text{—} \end{array} \right.$

補剛形式 $\left\{ \begin{array}{l} T : \text{トラス型} \\ P : \text{フレート・ガーダー型} \\ P+F : \text{フランジ付フレート・ガーダー型} \end{array} \right.$

値よりもかなり大きな値を示すところである。

(4) 連成項の空気力係数 A_1, A_2, A_3

トラス補剛筋、平板についてこれらの係数を求めるが、位相差角が小さくかつ支持剛性アーリングの影響などでバラツキが著しく良好な結果を得られなかつた。 A_1^*, A_2^* は Theodorsen の理論による係数に近い値を示すところであるが、 A_3^* はかなり過大な値となつた。

補剛筋の不安定現象はこれらの空気力係数のうち特に A_2 に敏感に影響され、 A_2^* のグラフからだけでもかなりその安定性を論ずることことができる。

フレート・ゲーダー補剛筋の場合、ねじれ一自由度に近い矢端フラッタ型の振動を示すので、 A_2, A_3 のグラフを求められてゐる場合、次に示す判定条件から限界風速を決定できる。

$$[A_2]_{cr} = 2\zeta_{d_0}\omega_{d_0}, \quad [A_3]_{cr} = \omega_{d_0}^2 - \omega^2$$

この判定条件を用いて求めた限界風速 V_{cr} は実際の限界風速（ねじれ振幅が 10° に相当する場合の風速）と限界風速と仮定したによく合ふことが当実験において確かめられた。

III 模型の振動性状

風洞内で吊橋部分模型を自由振動させると、鉛直一自由度状態におけるどの形式の模型も不安定振動を生じないが、ねじれ一自由度状態では、フレート・ゲーダー補剛形式の模型が不安定振動を示す。フレート・ゲーダー補剛筋では一般に二自由度不安定振動がねじれ一自由度のそれには近いものとなり、矢端フラッタの性格が非常に強い。一方、平板やトラス補剛筋ではねじれ一自由度状態で二自由度不安定振動を示さず、二自由度の状態ではじめて不安定振動を示すようになり、曲げねじりフラッタの性格が強い振動となる。

トラス補剛形式の模型では比較的高風速になると規則的微小振動しか生じないが、ある風速を超えると一挙に破壊的な振動となる。フレート・ゲーダー補剛形式の模型では低風速において既に規則的な定常振幅の振動を示し、風速の増大とともにただちに振幅を増していく。又風速の低下に際しては明瞭な履歴現象を示すところである。これらのよろずと図-5に示してある。このため、フレート・ゲーダー補剛筋に対する外力ヒステリシス空気力を線形系と仮定することはやや無理があると言わざる。

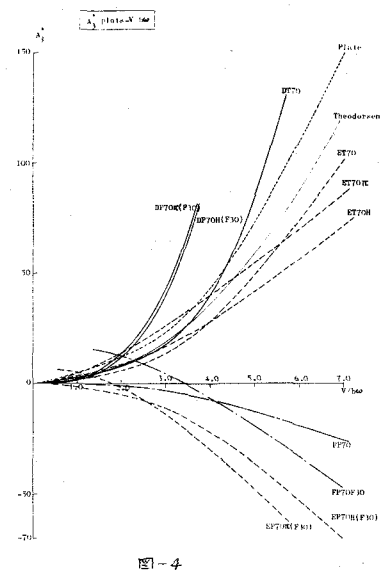


図-4

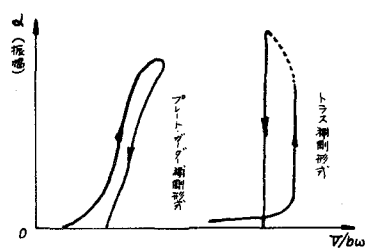


図-5

あとがき

以上に述べたことをまとめると次のことが言える

- (1) ト拉斯型補剛桁の場合には空気力係数が Thodorsen の平板翼理論にしたがって求められ、正係数とかなり近い値を示すので、これを平板に準じて論することは大きな誤りとはならないでありますと言えられます。ただし、ワ型の床板形式の中には平板とは全く異なる空気力係数を示し、エーリアプレート・ゲーダー補剛形式の中には近くなるので注意を怠るはならない。
- (2) プレート・ゲーダー型補剛桁の場合には前述のように振幅が T/bw の変化に対して明瞭な履歴現象を示す。これは外力と 1 つの空気力との α , $\dot{\alpha}$, $\ddot{\alpha}$ ばかりではなく、振幅及び時間とも変数として組入れた非線形係数として取扱う必要性を示してありますと言えられます。
- (3) スロットが床板中央に一本入った E 型床板は、耐風安定性をかなり良くするがよろしくあります。しかし、スロットが三本のワ型床板では TT 型補剛桁にみられるように激に耐風安定性が悪くなる場合があるから充分に注意しなければならない。

今後はト拉斯型補剛桁の限界風速と空気力係数を用いて理論的によく試みをなしたものと見ておきましょう。

参考文献

- (1) 第23回「年次学術講演会、講演概要」第 I 部門 I - 89
- (2) A. Sabzevari & R. H. Scanlan "Aerodynamic Instability of Suspension Bridges" Journal of Engineering Mechanics Division, Proc. ASCE April 1968
- (3) R. H. Scanlan & A. Sabzevari "Suspension Bridge Flutter Revised" ASCE Structural Engineering Conference May 8-12 1967